

• Wärmekapazität

$$C_V = \left. \frac{\partial U}{\partial T} \right|_V \quad (\text{auch } C_p)$$

Dulong - Petit.

$$C_V = 3 N_f k_B = 3 \gamma R_f \leftarrow \text{für tiefe } T \text{ falsch}$$

• Bose - Einstein

$$\bar{n} = \frac{1}{e^{\hbar \omega / k_B T} - 1}$$

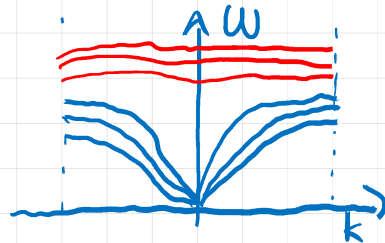
$$C_V = \left. \frac{\partial \bar{U}}{\partial T} \right|_V = \frac{\partial}{\partial T} \left( \sum_{\vec{k}, p} \bar{n}_p(\vec{k}) \hbar \omega_p(\vec{k}) \right) = \frac{\partial}{\partial T} \left( \sum_p \int \frac{\hbar \omega}{e^{-\hbar \omega / k_B T} - 1} D_p(\omega) d\omega \right)$$

• Zustandsdichte

$$Z(\vec{k}) \leftrightarrow D(\omega)$$

$$D(\omega) d\omega = Z(\vec{k}) \int_{\omega}^{\omega+d\omega} d^3 k$$

• Debye Näherung



→



$$D(\omega) = \frac{3}{2\pi^2} \frac{V}{v^3} \omega^2$$

$$C_V = \frac{\partial \bar{U}}{\partial T} \Big|_V = \frac{g N k_B}{\omega_D^3} \int_0^{\omega_D} \frac{\left(\frac{\hbar \omega}{k_B T}\right)^2 e^{\hbar \omega / k_B T}}{\left(e^{\hbar \omega / k_B T} - 1\right)^2} \omega^2 d\omega$$

2.)  $T \ll \theta_D \Rightarrow \frac{\hbar \omega_D}{k_B T} \gg 1 \Rightarrow \text{Für } \omega \geq \omega_D : \bar{n} \approx 0$

$\Rightarrow$  Verschiebe Integrationsgrenze von  $\omega_D \rightarrow \infty$  ;  $\omega_D = \frac{k_B}{\hbar} \theta_D$

substituiere  $x = \frac{\hbar \omega}{k_B T}$  ;  $dx = \frac{\hbar}{k_B T} d\omega$  ;  $d\omega = \frac{k_B T}{\hbar} dx$

$\Rightarrow$

$$C_V \approx g N k_B \frac{\hbar^3}{k_B^3 \theta_D^3} \int_0^{\infty} \frac{x^2 e^x}{(e^x - 1)^2} \omega^2 \frac{k_B T}{\hbar} dx = g N k_B \left(\frac{T}{\theta_D}\right)^3 \underbrace{\int_0^{\infty} \frac{x^4 e^x}{(e^x - 1)^2} dx}_{4\pi^4/15}$$

$\omega^2 = \left(\frac{\hbar \omega}{k_B T}\right)^2 \cdot \left(\frac{k_B T}{\hbar}\right)^2 \nearrow$

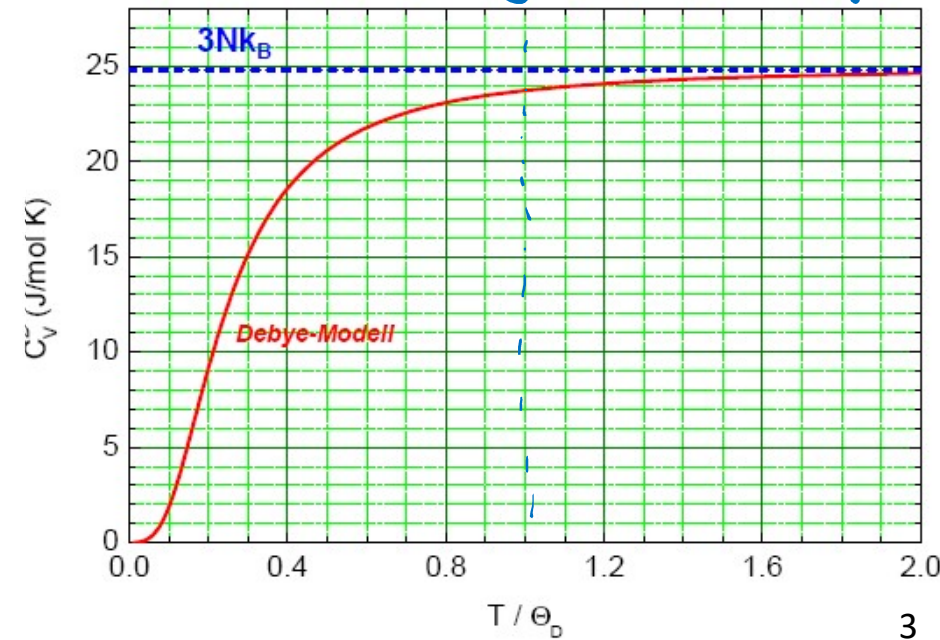
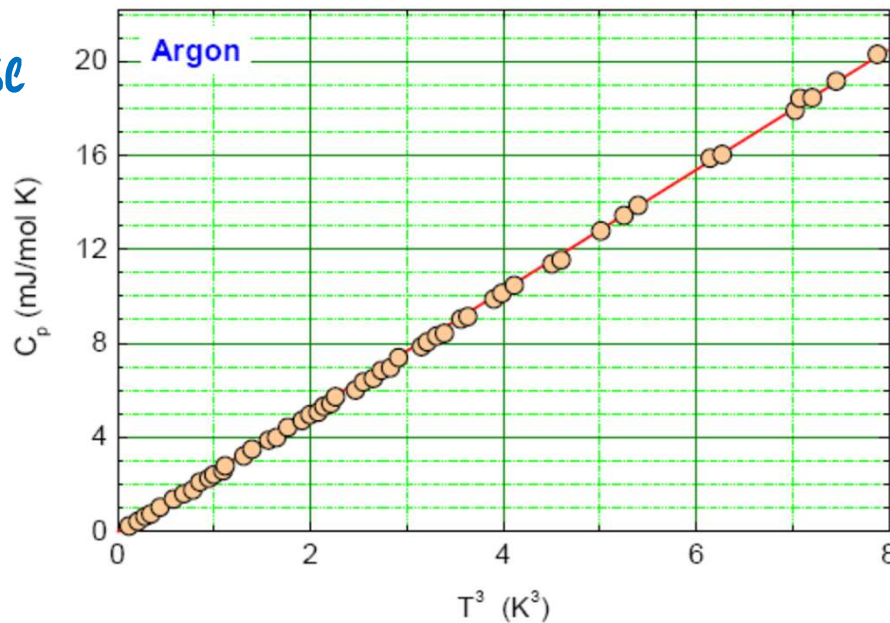
Also für  $T \ll \Theta_D$  ist

$$C_V \approx \frac{12\pi^4}{5} N k_B \left( \frac{T}{\Theta_D} \right)^3$$

Debye'sches  
 $T^3$  Gesetz

- Das Debye'sche  $T^3$  - Gesetz ist eine ausgezeichnete Näherung für die Wärmekapazität bei tiefen Temperaturen.
- Über den gesamten Temperaturbereich ist die Näherung ebenfalls gut.

- Typischerweise wird  $\Theta_D$  als Fit-Parameter verwendet um die



Übereinstimmung mit dem Experiment zu verbessern.

• Für Elemente oft

$$\theta_D \approx 300 \text{ K}$$

⇒ Quanteneffekte in  $C_V$  bei Raumtemperatur

• Merke:

$T < \theta_D$ : QM, Noden frieren aus

$T > \theta_D$ : klassische Mechanik  
alle Noden angeregt

## Debyetemperaturen und Wärmeleitfähigkeiten der Elemente

	Be 1440 2.00	<i>Debye Temperatur (K)</i> <i>Thermische Leitfähigkeit bei 300K (W/cmK)</i>										B ... 0.27	C 2230 1.29	N ... ...	O ... ...	F ... ...	Ne 75 ...
Na 158 1.41	Mg 400 1.56	...										Al 428 2.37	Si 645 1.48	P ... ...	S ... ...	Cl ... ...	Ar 92 ...
K 91 1.02	Ca 230 ...	Sc 360 0.16	Ti 420 0.22	V 380 0.31	Cr 630 0.94	Mn 410 0.08	Fe 470 0.80	Co 445 1.00	Ni 450 0.91	Cu 343 4.01	Zn 327 1.16	Ga 320 0.41	Ge 374 0.6	As 282 0.50	Se 90 0.02	Br ... ...	Kr 72 ...
Rb 56 0.58	Sr 147 ...	Y 280 0.17	Zr 291 0.23	Nb 275 0.54	Mo 450 1.38	Tc ... 0.51	Ru 600 1.17	Rh 480 1.50	Pd 274 0.72	Ag 225 4.29	Cd 209 0.97	In 108 0.82	Sn 200 0.67	Sb 211 0.24	Te 153 0.02	I ... ...	Xe 64 ...
Cs 38 0.36	Ba 110 ...	La 142 0.14	Hf 252 0.23	Ta 240 0.58	W 400 1.74	Re 430 0.48	Os 500 0.88	Ir 420 1.47	Pt 240 0.72	Au 165 3.17	Hg 71.9 ...	Tl 78.5 0.46	Pb 105 0.35	Bi 119 0.08	Po ... ...	At ... ...	Rn 64 ...
Fr ... ...	Ra ... ...	Ac ... ...	...														
...			Ce ... 0.11	Pr ... 0.13	Nd ... 0.16	Pm ... ...	Sm ... 0.13	Eu ... ...	Gd 200 0.11	Tb ... 0.11	Dy 210 0.11	Ho ... 0.16	Er ... 0.14	Tm ... 0.17	Yb 120 0.35	Lu 210 0.16	...
...			Th 163 0.54	Pa ... ...	U 207 0.28	Np ... 0.06	Pu ... 0.07	Am ... ...	Cm ... ...	Bk ... ...	Cf ... ...	Es ... ...	Fm ... ...	Md ... ...	No ... ...	Lr ... ...	...

- Die noch einfachere Einstein - Näherung für die Zustandsdichte ist

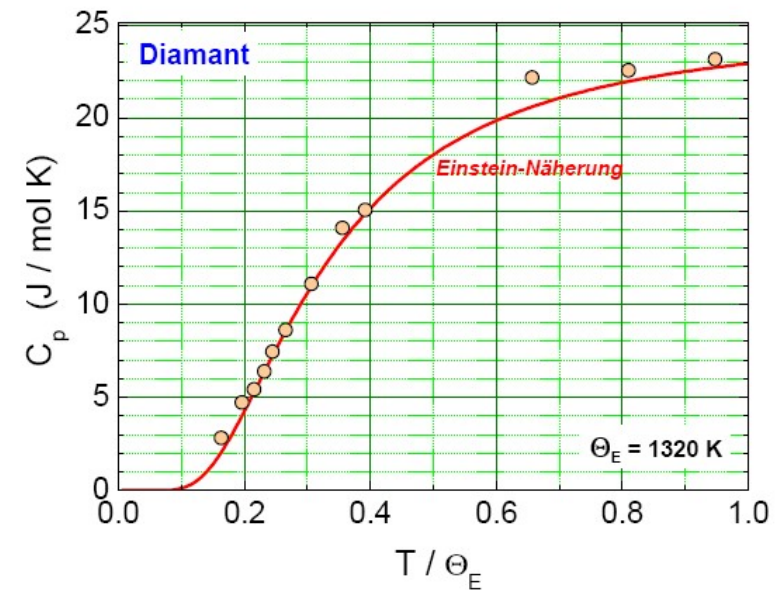
$$D(\omega) = 3N \delta(\omega - \omega_E) \quad (\text{alle Oszillatoren haben gleiche Frequenz})$$

Dann ist  $\bar{U} = 3N \hbar \omega_E \cdot \bar{n} = \frac{3N \hbar \omega_E}{e^{\hbar \omega_E / k_B T} - 1}$

mit  $k_B \cdot \theta_E = \hbar \omega_E$

$$C_V = \frac{\partial \bar{U}}{\partial T} \bigg|_V = 3N k_B \theta_E \frac{\frac{\theta_E}{T^2} e^{\theta_E/T}}{(e^{\theta_E/T} - 1)^2}$$

$$= 3N k_B \left( \frac{\theta_E}{T} \right)^2 \frac{e^{\theta_E/T}}{(e^{\theta_E/T} - 1)^2}$$

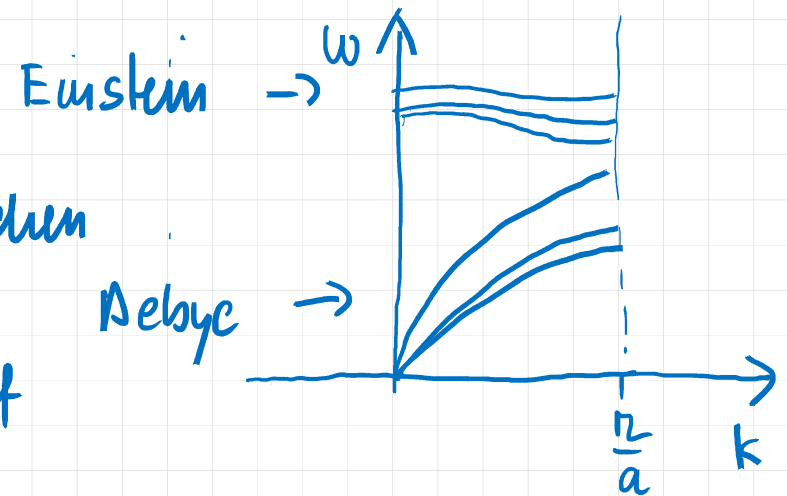




- Für  $T \gg \theta_3 \rightarrow$  Dulong - Petit

- Insgesamt gibt auch die Einsteinsche Näherung  $C_V$  über den gesamten  $T$ -Bereich ganz gut wieder

- Insbesondere bei Kristallen mit vielen Basisatomen wird  $D(\omega)$  für die akustischen Zweige durch Debye,  $D(\omega)$  für die optischen Zweige durch Einstein genähert  
 $\Rightarrow$  sehr gute Beschreibung von  $C$



## 6.2 Anharmonische Effekte

In harmonischer Näherung

- keine thermische Ausdehnung
- keine WW zwischen Gitterwellen
- $C_p = C_v$
- elastische Konstanten unabhängig von  $p, T$

- Entwickeln wir das WW-Potential zwischen Atomen in höheren Termen in der Auslenkung (hier 1D-Festkörper als Beispiel) so ist:

$$V = V(x_0) + \underbrace{\frac{\partial V}{\partial x} \big|_{x_0}}_{=0} u + \underbrace{\frac{1}{2} \frac{\partial^2 V}{\partial x^2} \big|_{x_0}}_a u^2 + \underbrace{\frac{1}{6} \frac{\partial^3 V}{\partial x^3} \big|_{x_0}}_{-b} u^3 + \dots$$
$$= V_{eq} \quad \quad V_{\text{harm}} \quad + \quad V_{\text{anh}}$$

Für den Längenausdehnungskoeffizient erhalten wir

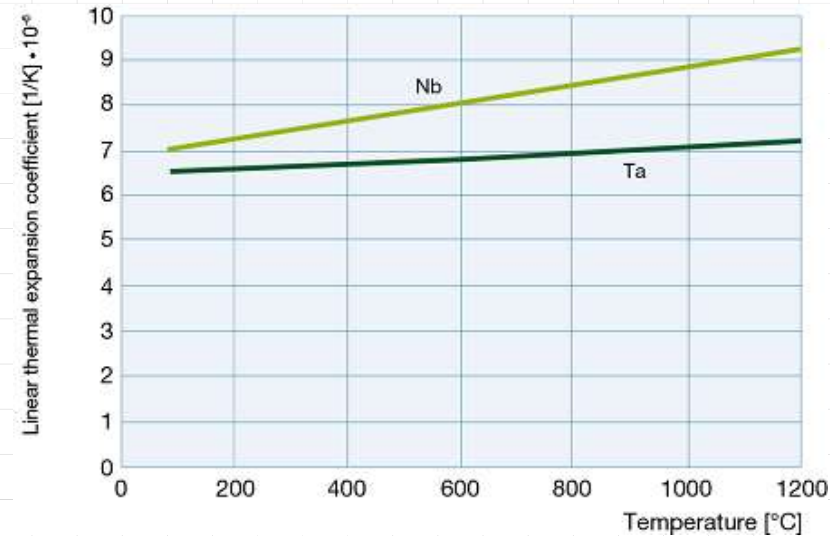
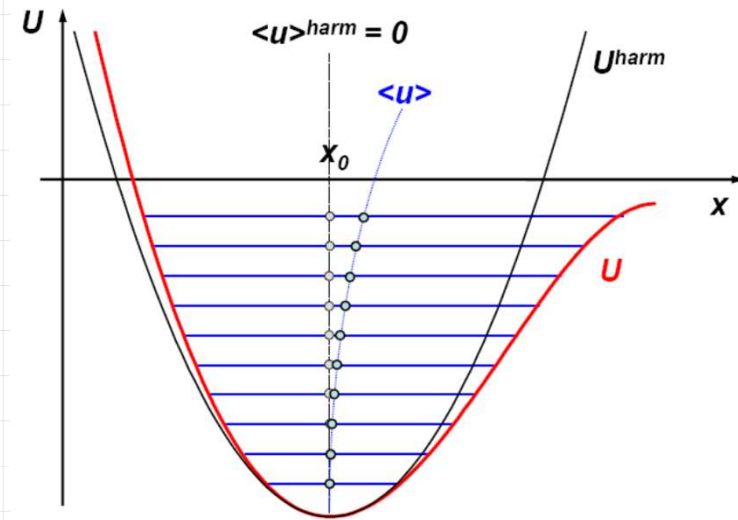
$$\alpha_L = \frac{1}{L} \frac{dL}{dT} = \frac{36}{4a^2} \frac{k_B}{x_0}$$

an harmonischer Koeffizient

Anschaulich ist die Ursache der Längen- oder Volumenänderung ( $\alpha_V = 3\alpha_L$ )

die Änderung der Gleichgewichtslage aufgrund des asymmetrischen interatomaren Potentials

Der Längenausdehnungskoeffizient selber ist i. A. schwach T-abhängig aufgrund von Termen von Potenz  $> 3$  im Potential





- Damit sich im Gleichgewicht die Besetzungszahlen  $\bar{n}$  gemäß Bose-Einstein einstellen können, müssen Phononen miteinander wechselwirken können.

In harmonischer Näherung besitzen Phononen keine WW, die ihre Weglänge eines Phonons wäre unendlich.

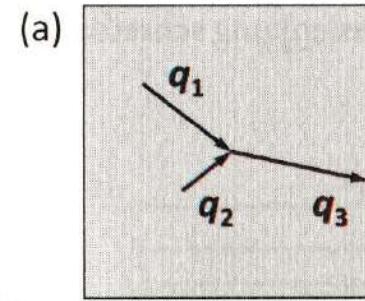
Aufgrund von Anharmonizität gibt es Dreiphononprozesse für die

$$\hbar\omega_1 + \hbar\omega_2 = \hbar\omega_3 \quad \text{Energie sah}$$

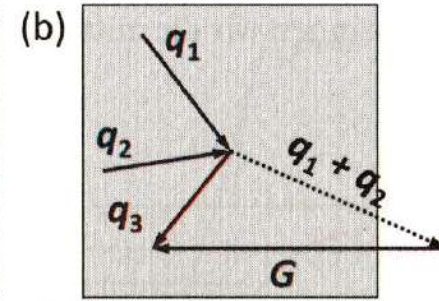
und

$$\vec{k}_1 + \vec{k}_2 = \vec{k}_3 + \vec{G} \quad \text{Kristallimpulserhaltung}$$

Bleiben  $\vec{k}_1 + \vec{k}_2 = \vec{k}_3$  in der 1.BZ, so ändert sich der gesamte Phononenimpuls nicht (Normalprozess), nur wenn  $\vec{k}_1 + \vec{k}_2$



Normalprozess

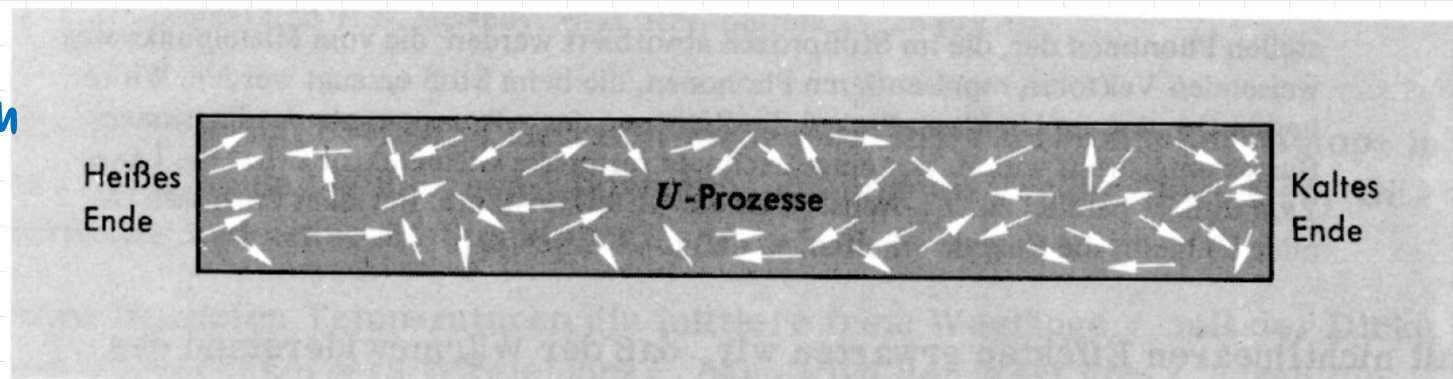
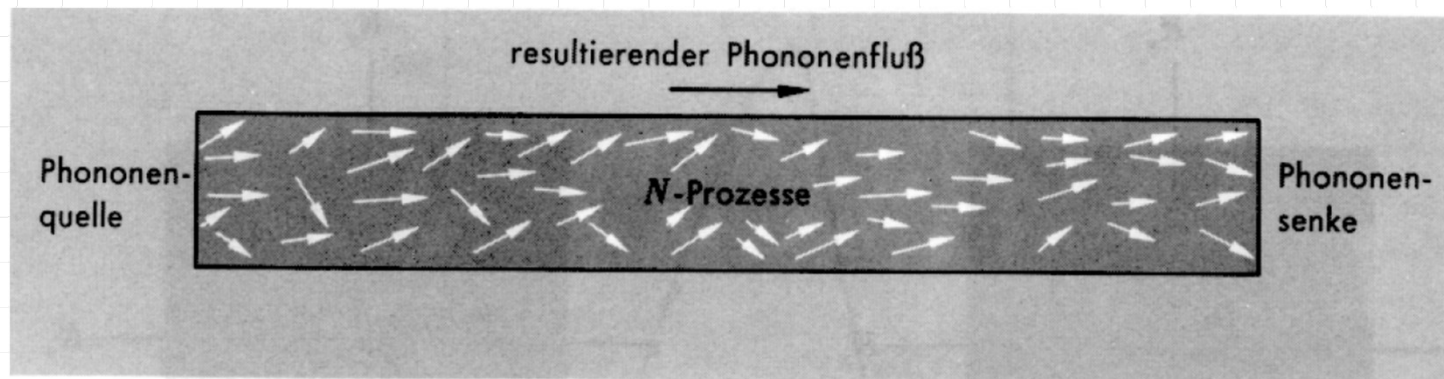


Umklappprozess

außerhalb der 1. BZ, ändern rez. Gittervektoren den Gesamtphononenimpuls.

Hat man eine Phononenquelle und eine Phononensenke an den Enden eines stabförmigen Festkörpers, so führen Normalprozesse zu einem Durchfluß von Phononen ohne jeden Widerstand.

Erst Umklappprozesse führen ins lokale Gleichgewicht und bewirken Wärme-widerstand.



- Wir definieren die Wärmeleitfähigkeit  $\kappa$  durch

$$\vec{j}_Q = \kappa \cdot \nabla T$$

$$\vec{j}_Q = \text{Wärmestromdichte, } \frac{\text{W}}{\text{m}^2\text{s}}$$